Mapeamento de susceptibilidade aos movimentos de massa em São Sebastião – SP com diferentes técnicas de inferência espacial

# Contextualização

- Movimentos de massa é um processo dinâmico, influenciado por fatores morfológicos que causam a instabilidade da encosta.
- As atividades antrópicas como ocupação irregular de encostas, desmatamento e corte de taludes proporcionam maior susceptibilidade. (GUIMARÃES et al, 2008)
- Mapeamento é importante para subsidiar ações dos agentes públicos e privados.



Susceptibilidade: probabilidade de ocorrer um fenômeno transformador da paisagem, dadas suas condições fisiográficas naturais (MUNÕZ, 2005)

Fonte: http://d.costanorte.com.br/geral/29660/chuvas-interditam-rodovias-causam-alagamentos-e-deixam-desalojados-no-litoral-norte

# Objetivos

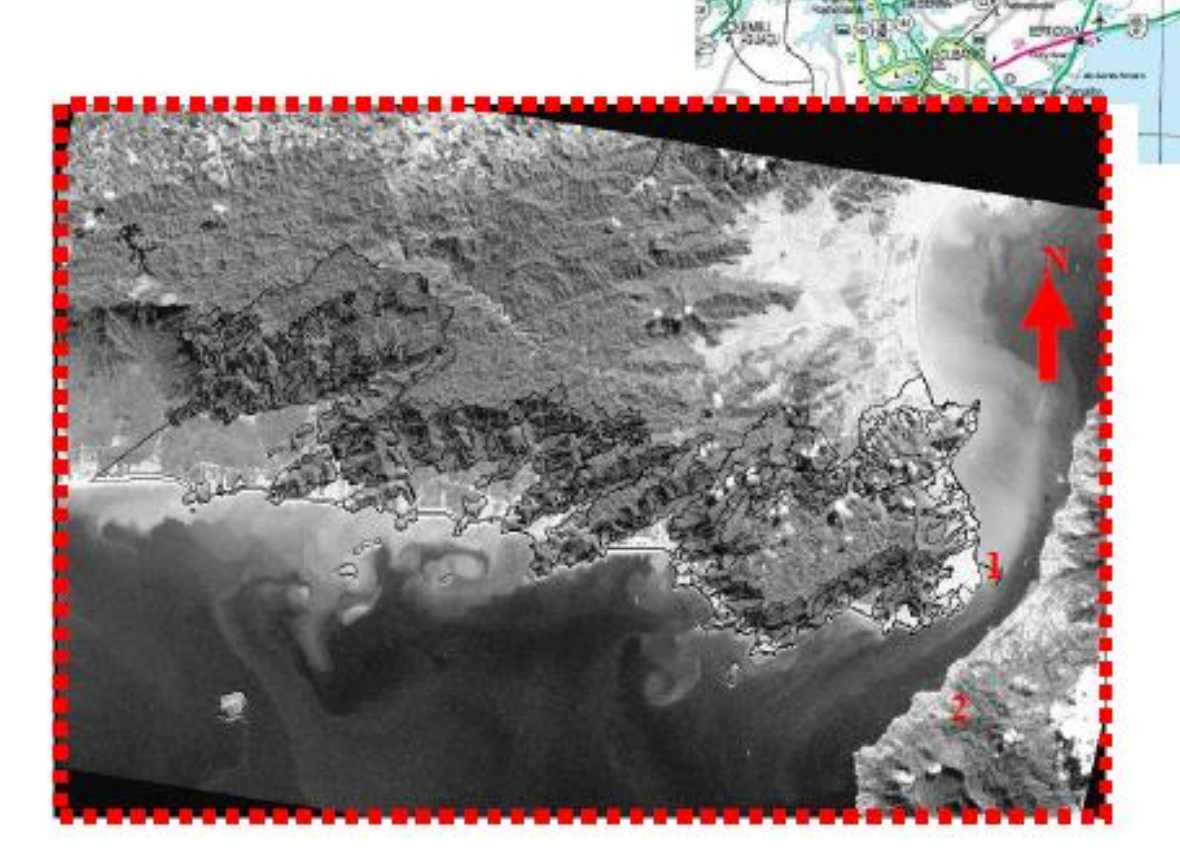
- Realizar o mapeamento de susceptibilidade ao movimento de massa no município de São Sebastião SP, com diferentes técnicas de inferência espacial.
- Análise dos mapas resultantes.

#### Materiais e métodos

- Inferência espacial baseada um modelo preditivo, realizada no software Spring.
- Álgebra de mapas com a linguagem espacial LEGAL.
- Uso de Excel para manipulação de tabelas.

#### Município de São Sebastião

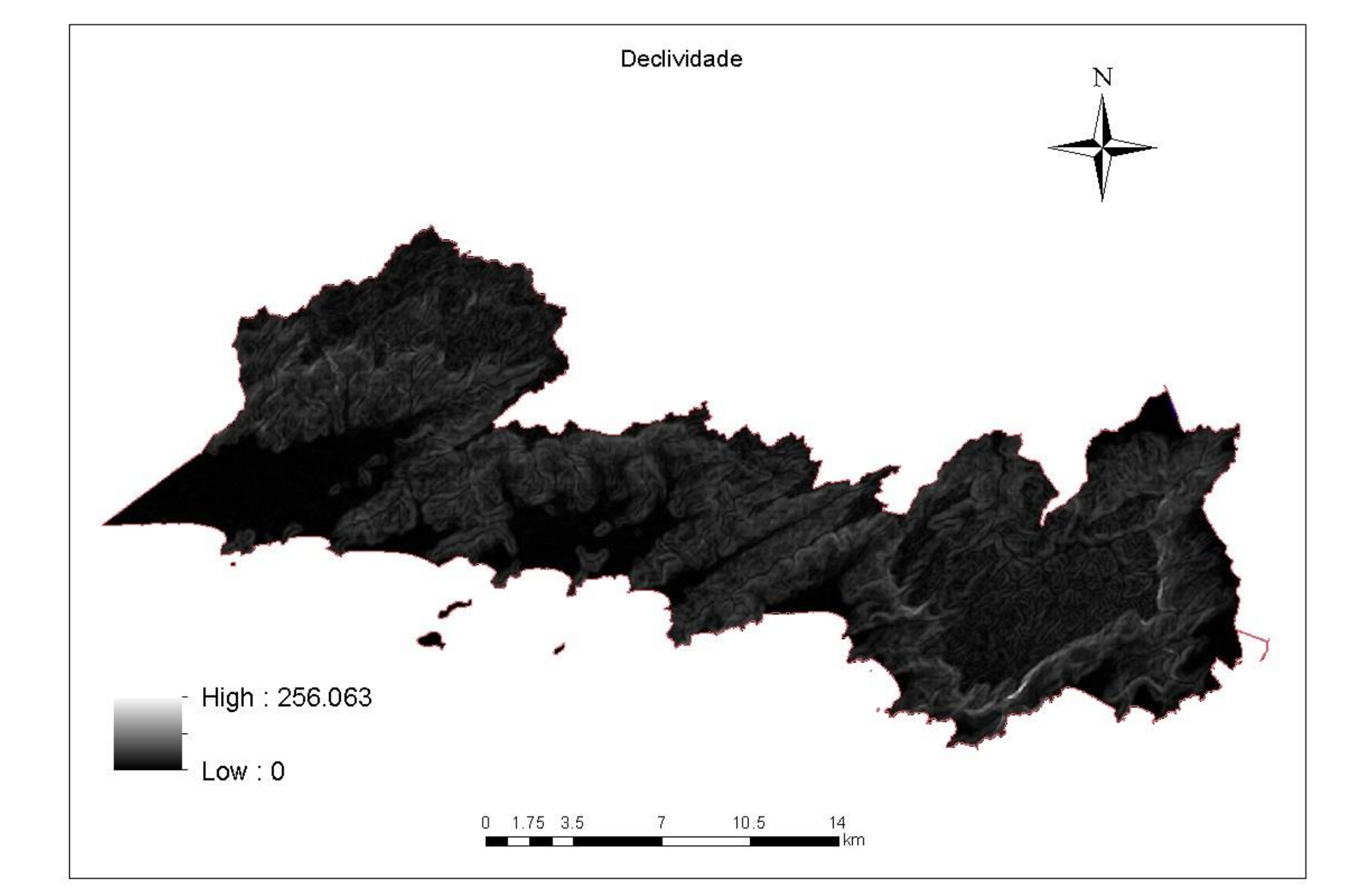
Área de estudo

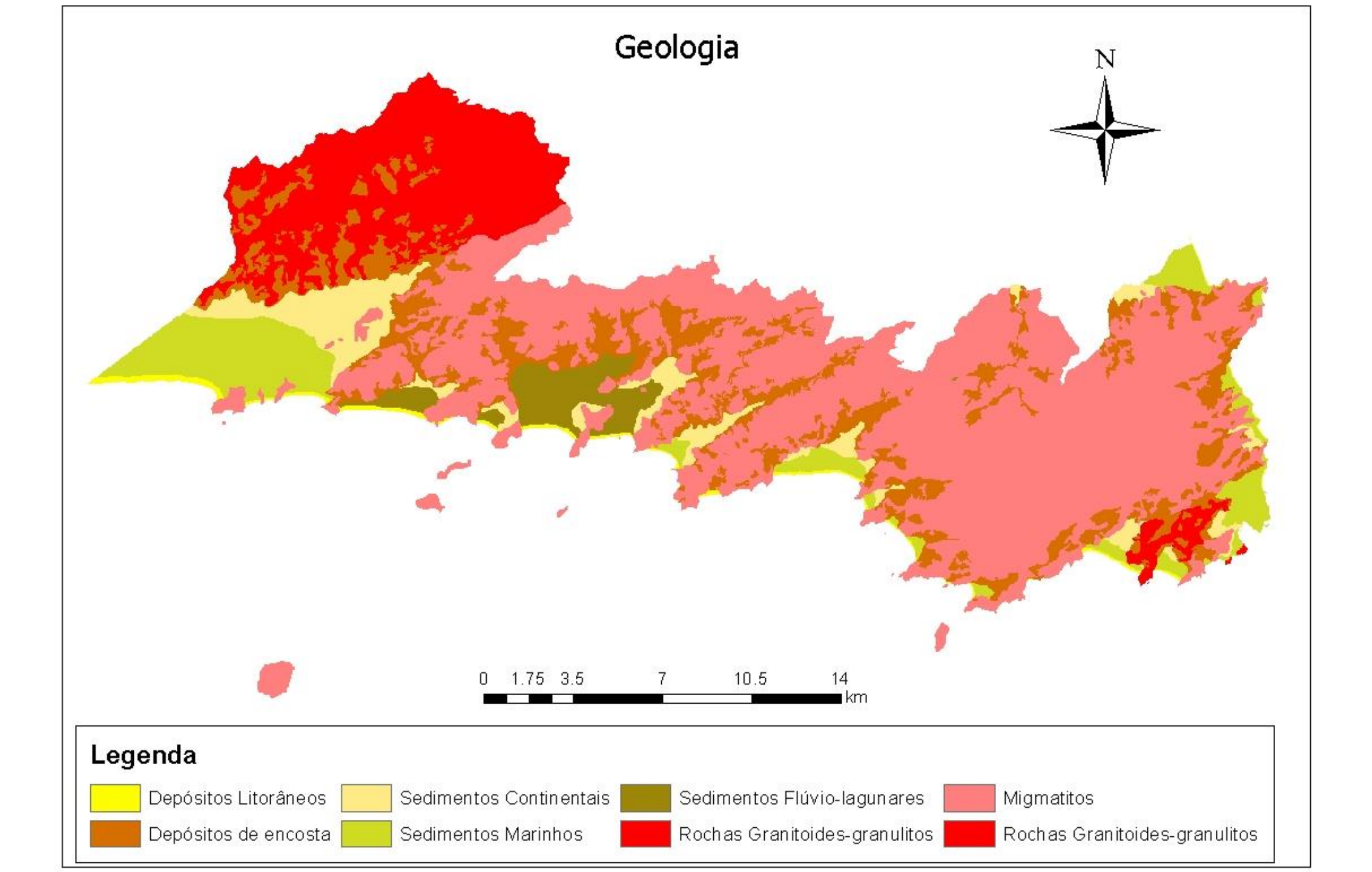


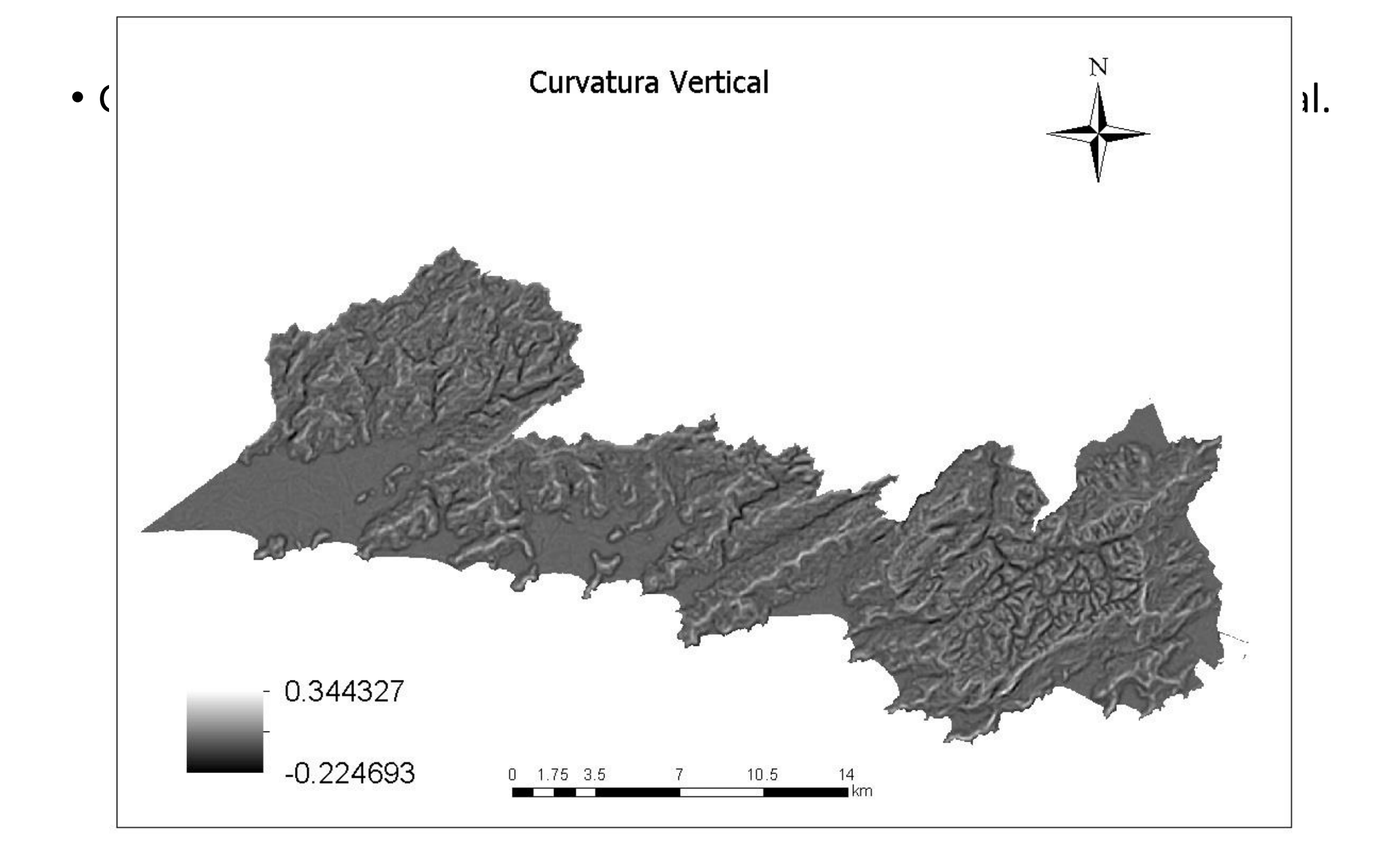
Fonte: MUNÕZ (2005)

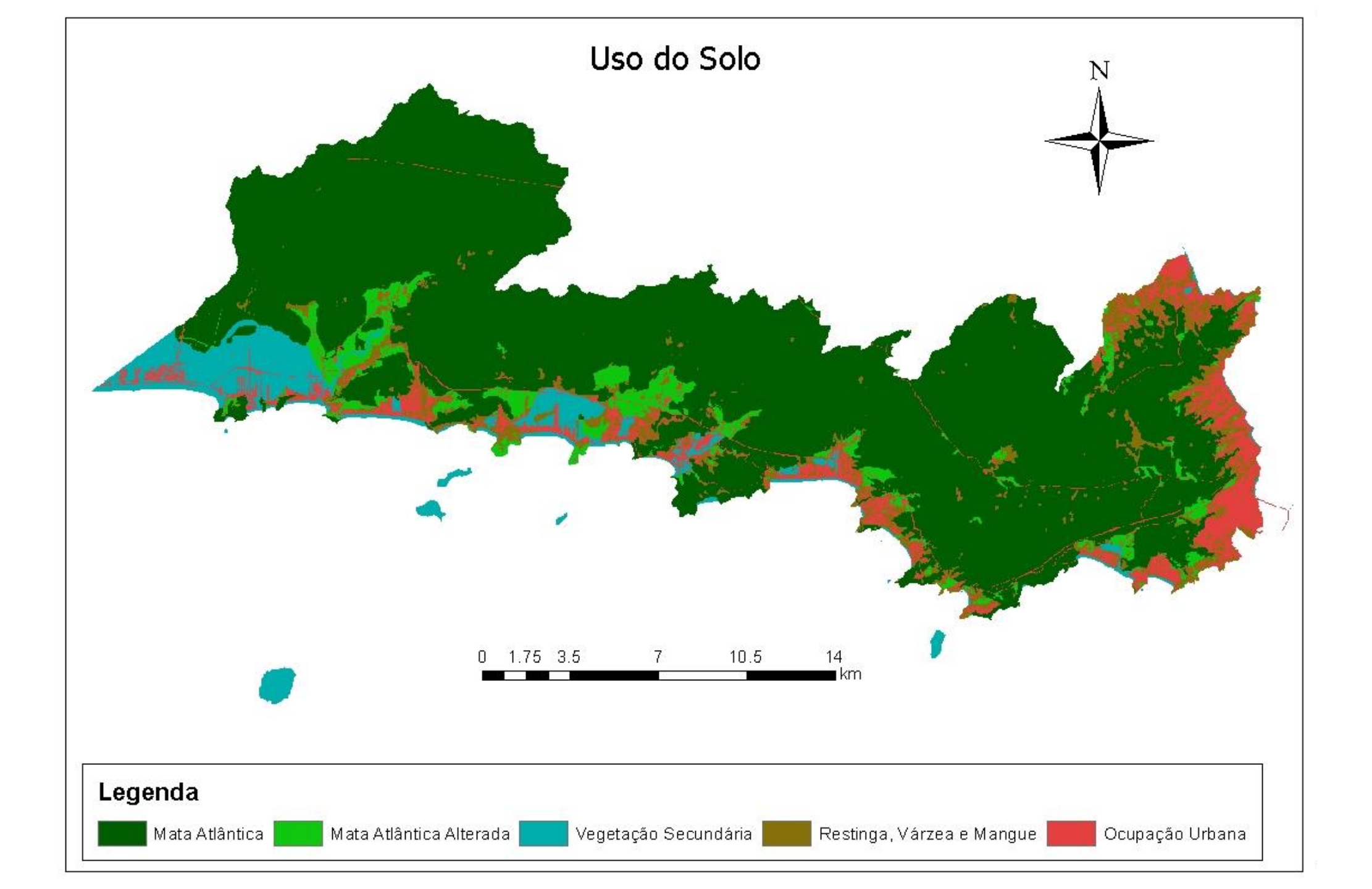
#### Banco de dados

- Banco de dados de Crepani e Medeiros (2000) com dados de Geomorfologia, Geologia, Solos e Uso do solo. Projeção: UTM 23S. Datum:SAD69
- Foram adicionadas o dado de Declividade, Curvatura Vertical e Horizontal do TOPODATA. Datum: WGS86
- Dado com ocorrências de eventos de movimento de massa no município, onde são registradas pontos nos locais que teve movimentos de massa. Dados fornecidos pelo Instituto Geológico de São Paulo.





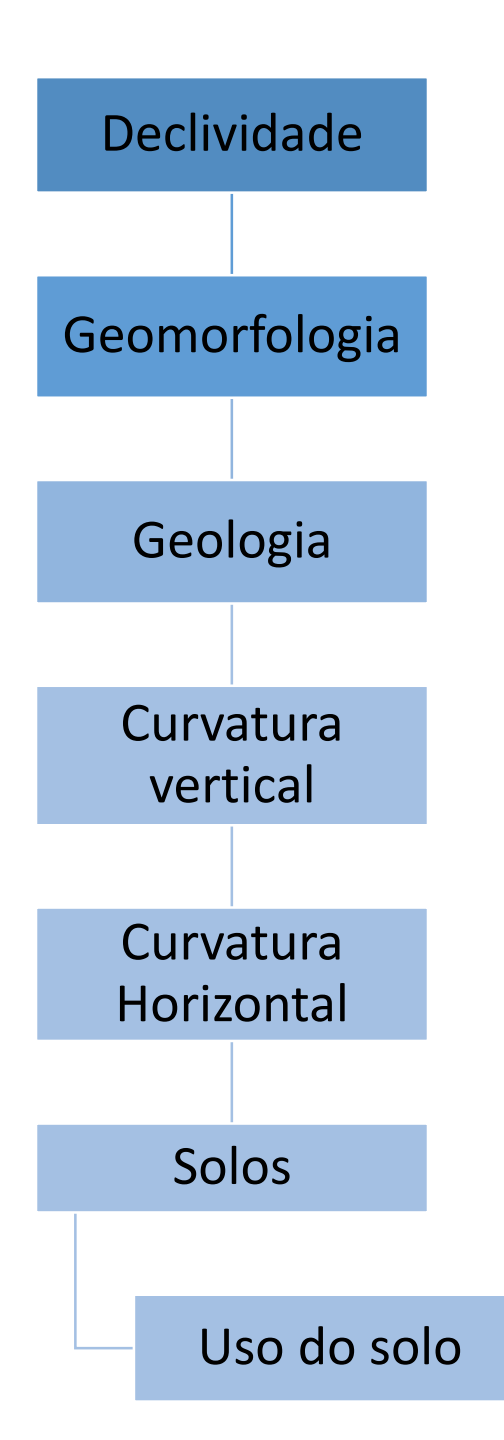




### Modelo Teórico

- A modelagem foi baseada no trabalho de Mun

  (2005).
- Os dados de curvatura vertical e horizontal foram incluídos a fim de melhorar os resultados, como proposto por BISPO (2011)
- A hierarquia entre as classes de curvatura horizontal foi baseado no trabalho de Mandal e Mandal (2018), e as de curvatura vertical baseada no trabalho de Effgen e Marchioro (2017).

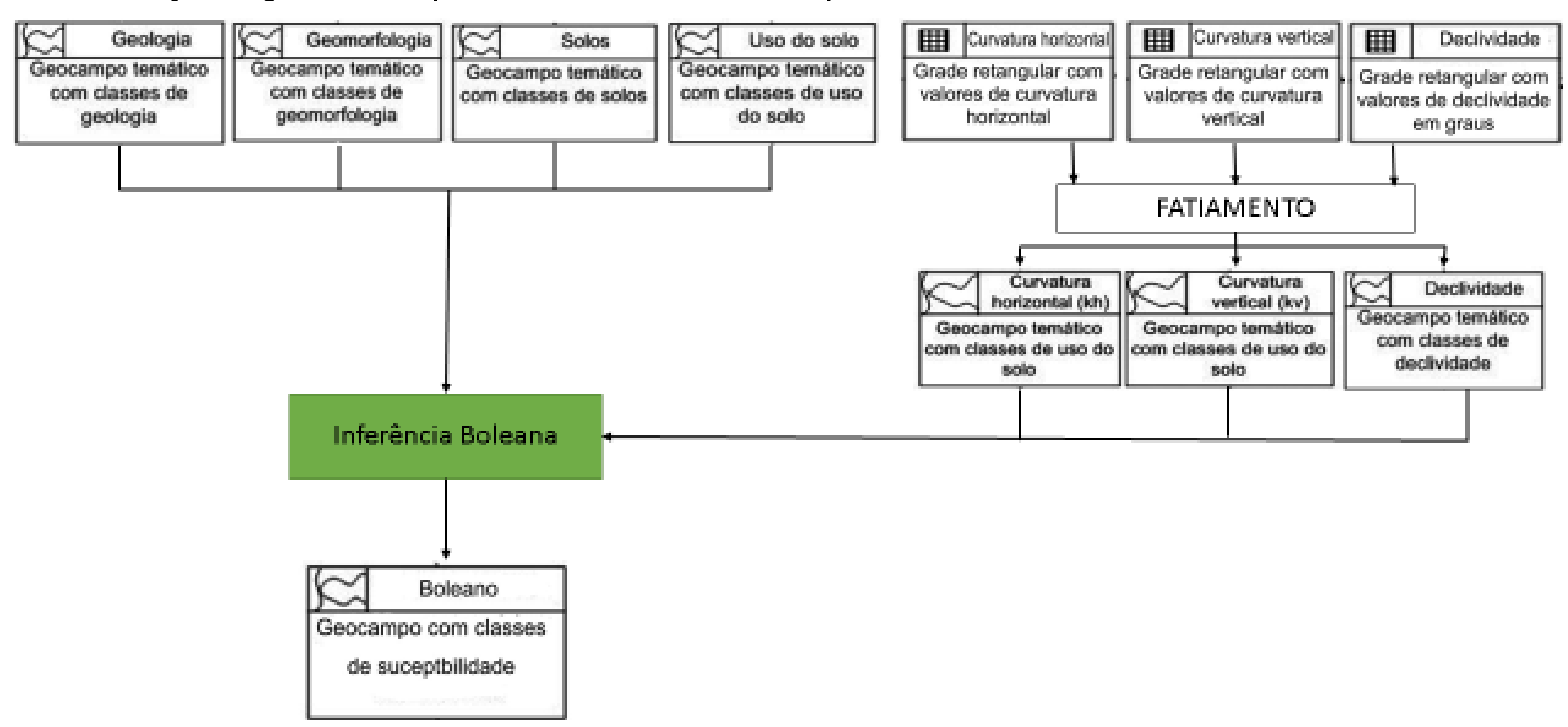


# Importância das classes das variáveis

evidencia	Declividade	Geomorfologia	Geologia	Solos	Uso do Solo	Valoração Qualitativa	Valor Numérico	Curvatura Vertical	Valor Numérico2	Curvatura Horizontal*
classe						,				
1	> 77%	Escarpas da Serra do Mar	Depósitos de encosta	Latossolos	Ocupação Humana	Muito Alta	0.95	Convexo	0.95	Convergente
2	[58% - 77%)	Morros e morrotes	Migmatitos	Cambissolos	Mata Atlântica Alterada	Alta	0.75	Côncavo	0.45	Planar
3	[20% - 58%)	Talús, colúvios e Conos	Rochas Granitóides e Granulitos	Espodossolos	Vegetação Secundaria	Média	0.5	Retilínio	0.25	Divergente
4	[10% - 20%)	Planaltos	Sedimentos continentais, marinhos e fluviolagunais	Neossolos	Mata Atlântica	Baixa	0.25			
5	[0% - 10%)	Planície Flúvio Marinha	Depósitos litorâneos atuais	Areia da praia	Vegetação de Restinga, Várzea, Mangue	Muito Baixa	0.05			

### Boleano

Combinação lógica de mapas binários através de operadores condicionais.



### Média Ponderada

• É a média ponderada entre as variáveis, onde os seus respectivos pesos são estipulados pelo analista, a partir de seu modelo.

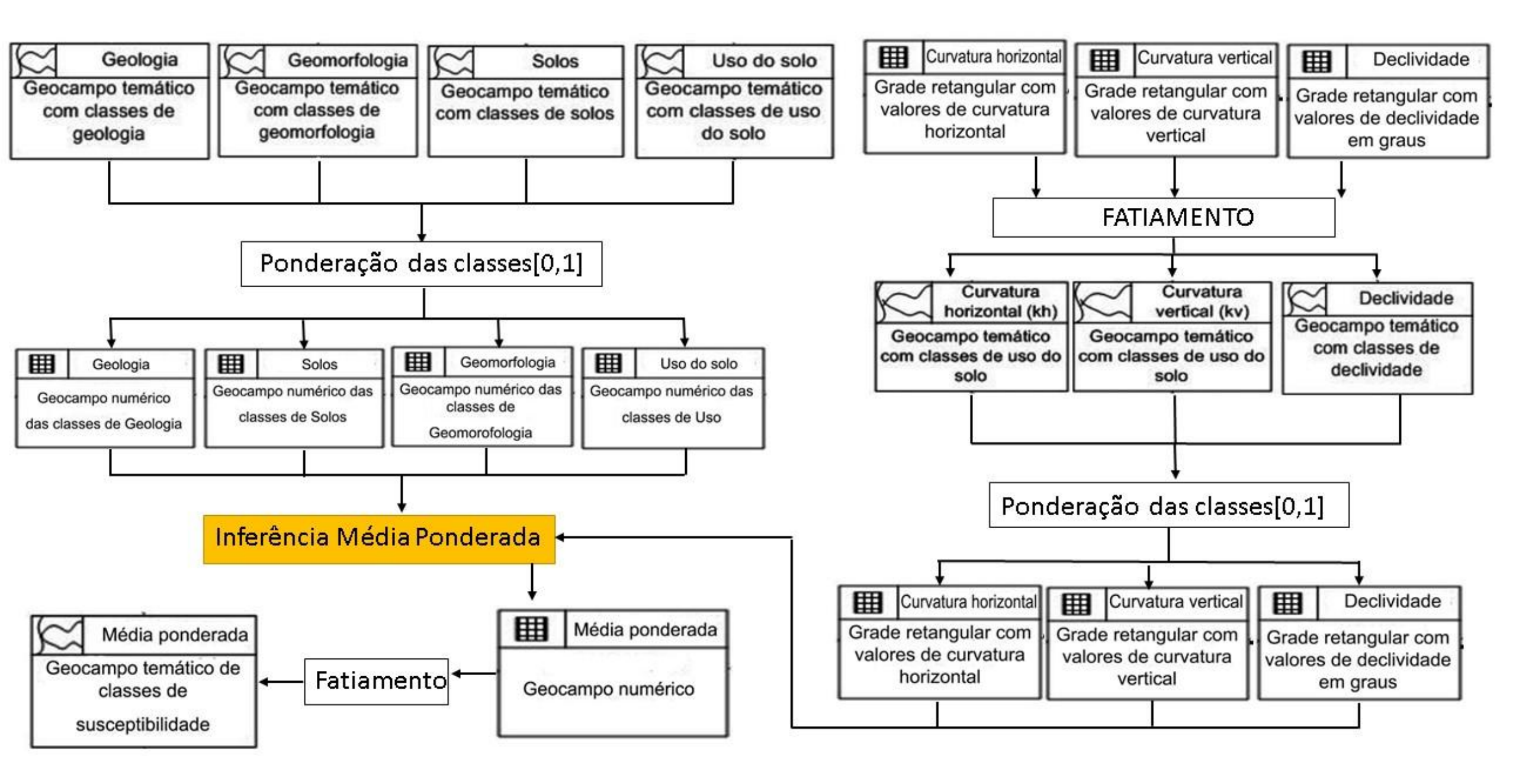
• A seguinte fórmula foi utilizada:

(0.43\*dl)+(0.23\*gp)+(0.15\*ge)+(0.03\*sp)+(0.01\*up)+(0.1\*cv)+(0.05\*ch)

dl: declividade sp: solos ch: curvatura horizontal

gp:geomorfologia up: uso do solo

ge:geologia cv: curvatura vertical



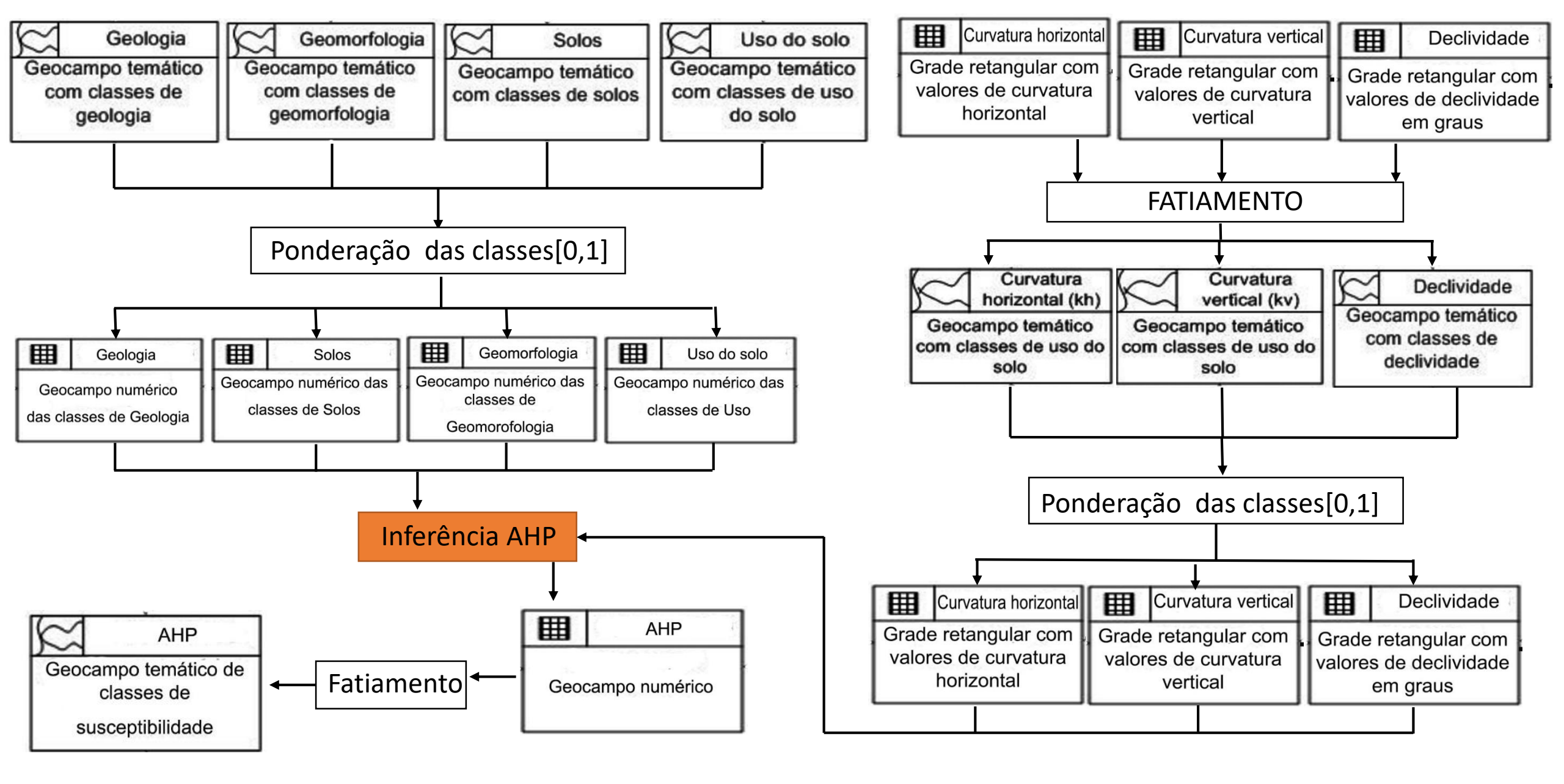
# Técnica Analytical Hierarchical Proces - AHP

• Comparação pareada, a fim de avaliar a importância relativa entre critérios e medir consistência dos julgamentos.

Ċat	tegory	Priority	Rank	(+)	(-)
1	Declividade	41.1%	1	16.3%	16.3%
2	Geomorfologia	23.6%	2	7.7%	7.7%
3	Geologia	14.2%	3	3.1%	3.1%
4	Curvatura Vertical	9.3%	4	2.9%	2.9%
5	Curvatura Horizontal	6.3%	5	2.4%	2.4%
6	Solos	3.4%	6	1.4%	1.4%
7	Uso do Solo	2.1%	7	1.1%	1.1%

Consistência: 0.55

	1	2	3	4	5	6	7
1	1	3.00	4.00	5.00	7.00	8.00	9.00
2	0.33	1	2.00	4.00	5.00	7.00	8.00
3	0.25	0.50	1	2.00	3.00	5.00	7.00
4	0.20	0.25	0.50	1	2.00	4.00	6.00
5	0.14	0.20	0.33	0.50	1	3.00	5.00
6	0.12	0.14	0.20	0.25	0.33	1	3.00
7	0.11	0.12	0.14	0.17	0.20	0.33	1



# Abordagem Fuzzy Gamma

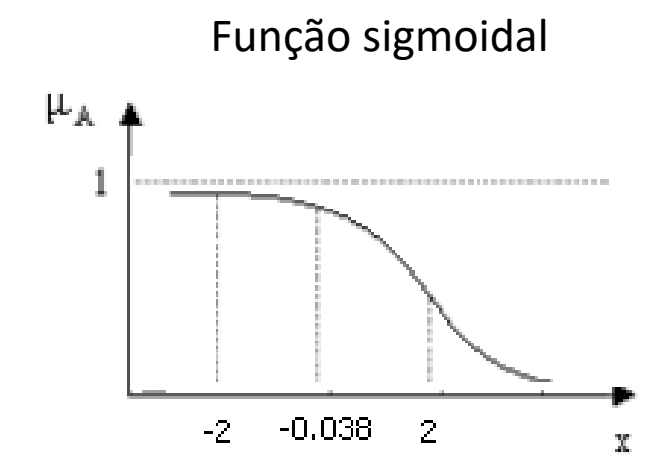
$$\mu_{combination} = \left(1 - \prod_{i=1}^{n} \mu_i (1 - \mu_i)\right)^{\gamma} \cdot \left(\prod_{i=1}^{n} \mu_i\right)^{1 - \gamma}$$

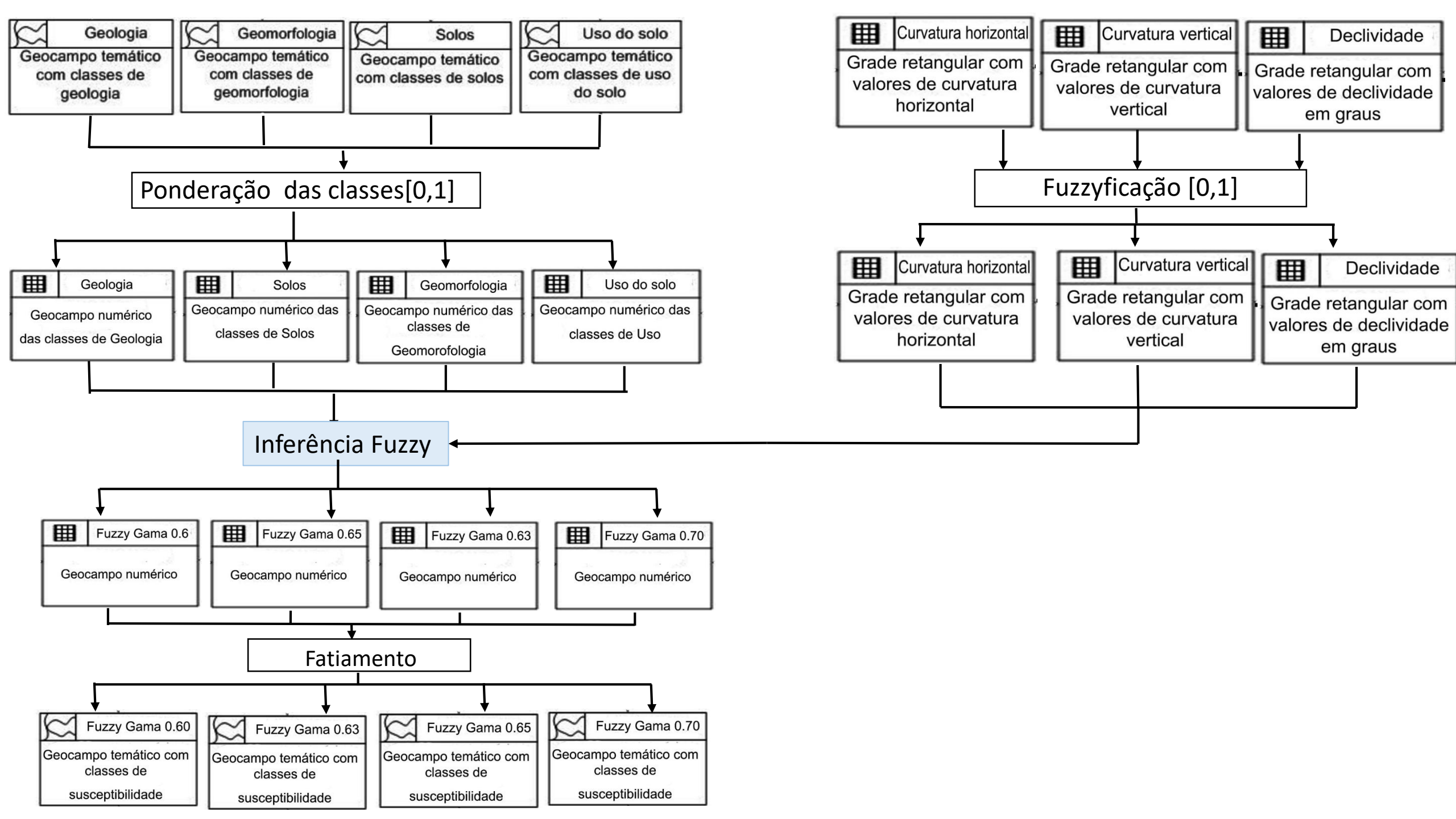
 $\gamma$  é um parâmetro escolhido no range (0,1). Quando  $\gamma$ =0 , a combinação fuzzy é igual ao produto algébrico, e quando  $\gamma$  = 1, é igual à soma

- Conjuntos Fuzzy das variáveis numéricas:
- Declividade:  $\mu(x) = \frac{1}{1 + (\frac{x}{midpoint})^{-spread}}$

Onde  $\mu$  é o valor Fuzzy, midpoint é o valor onde  $\mu$ =0.5, spread=3. (

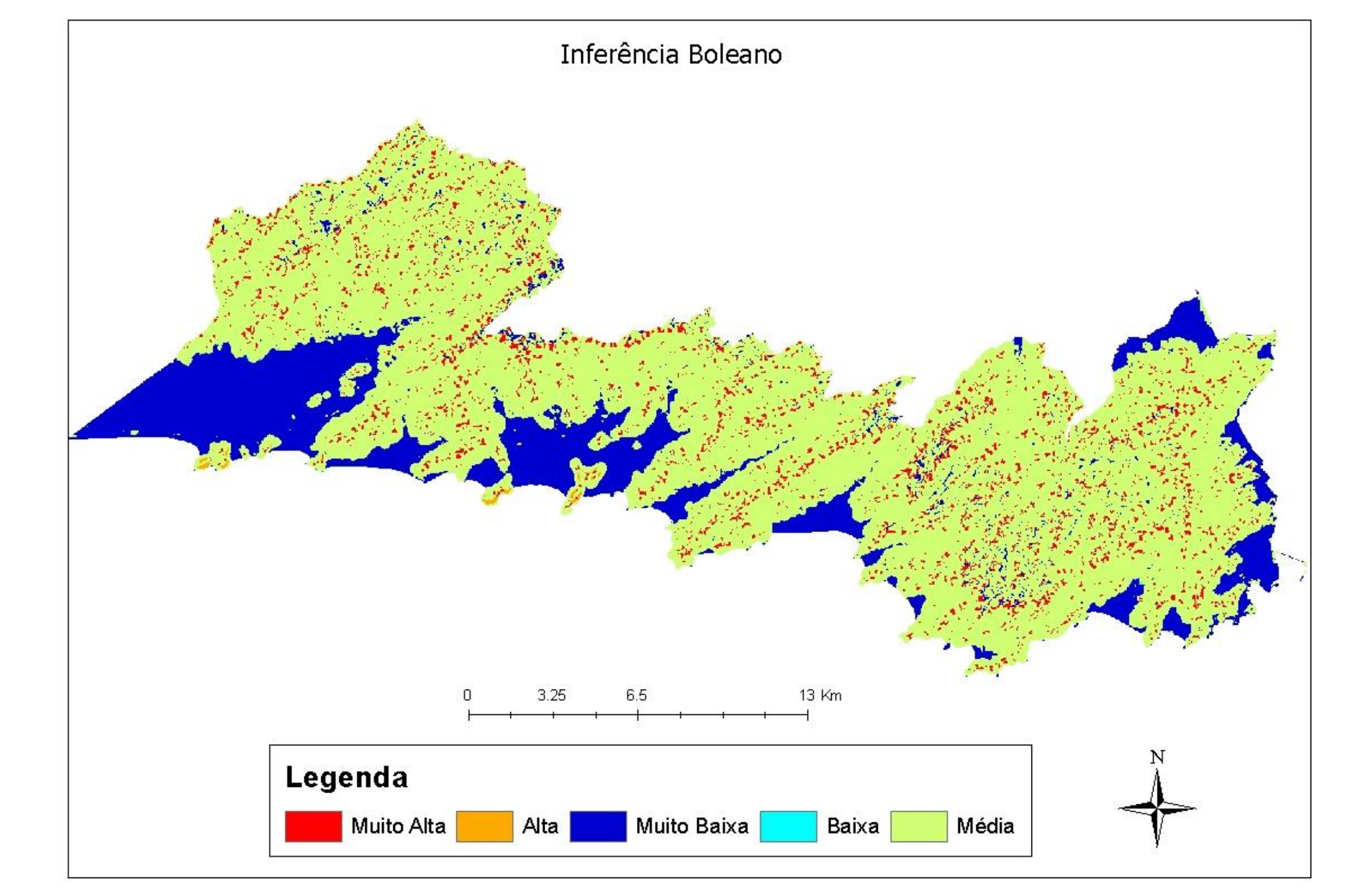
- Curvatura vertical: Função linear.
- Curvatura horizontal: Função Sigmoidal.

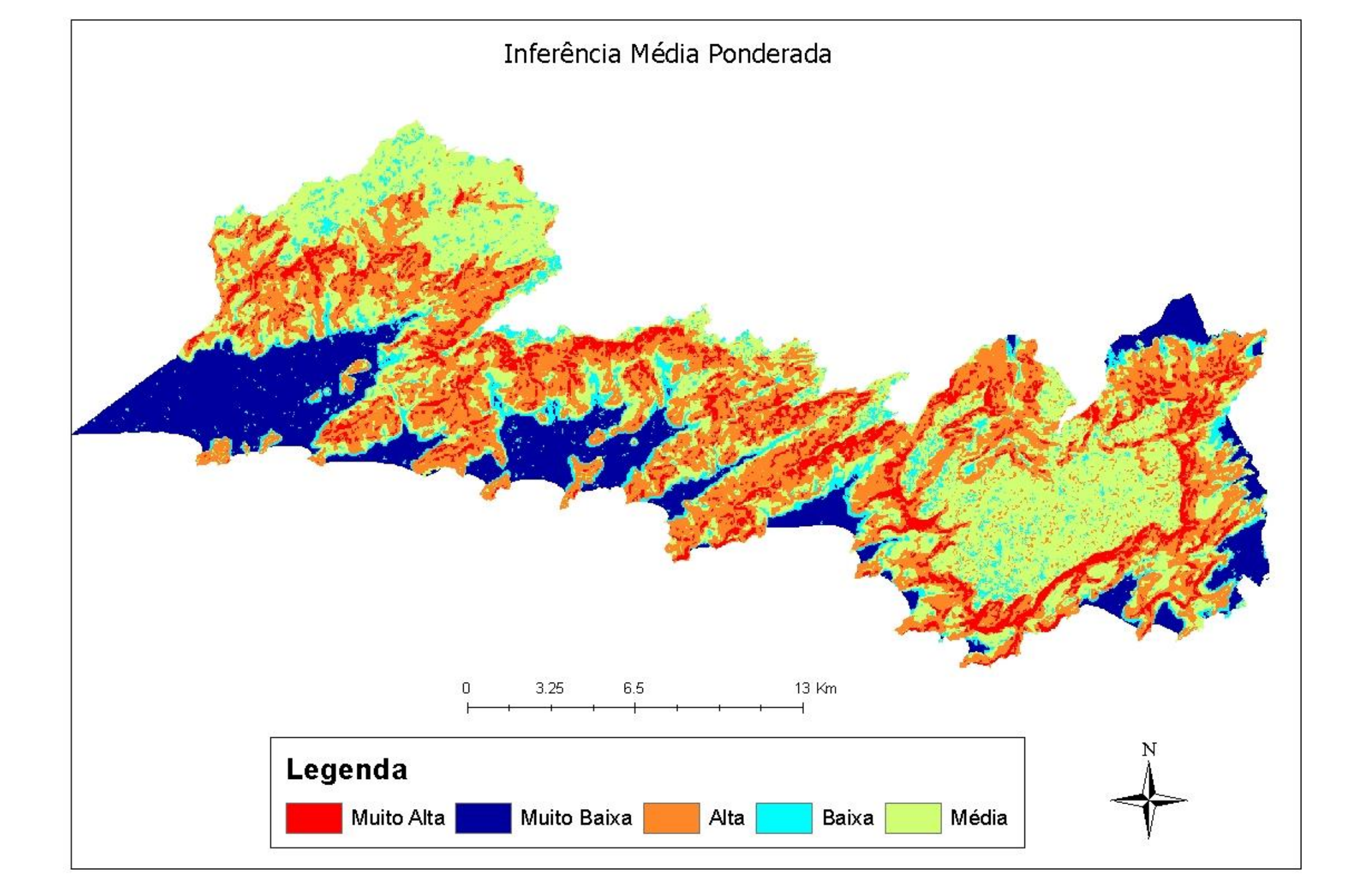


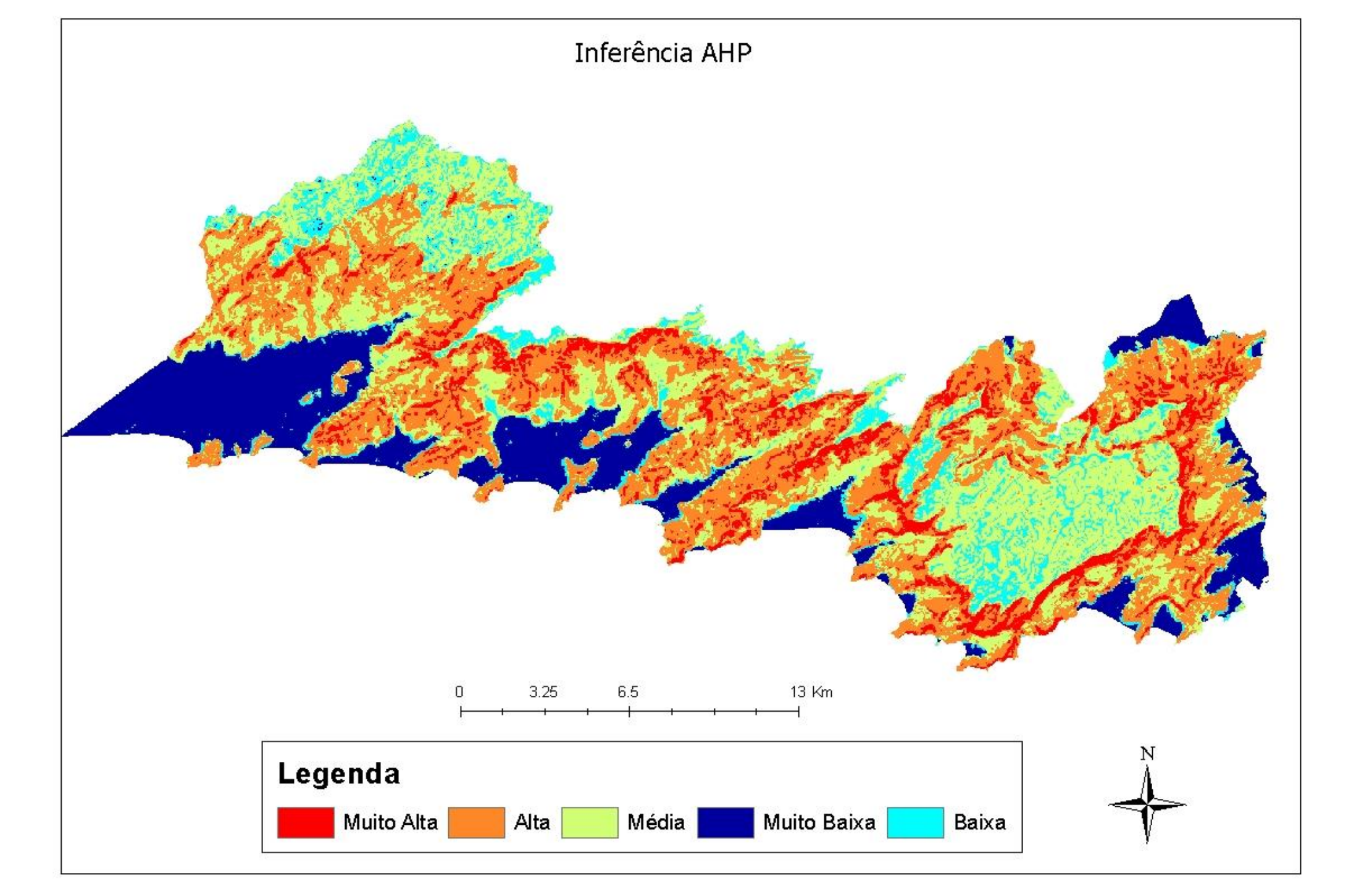


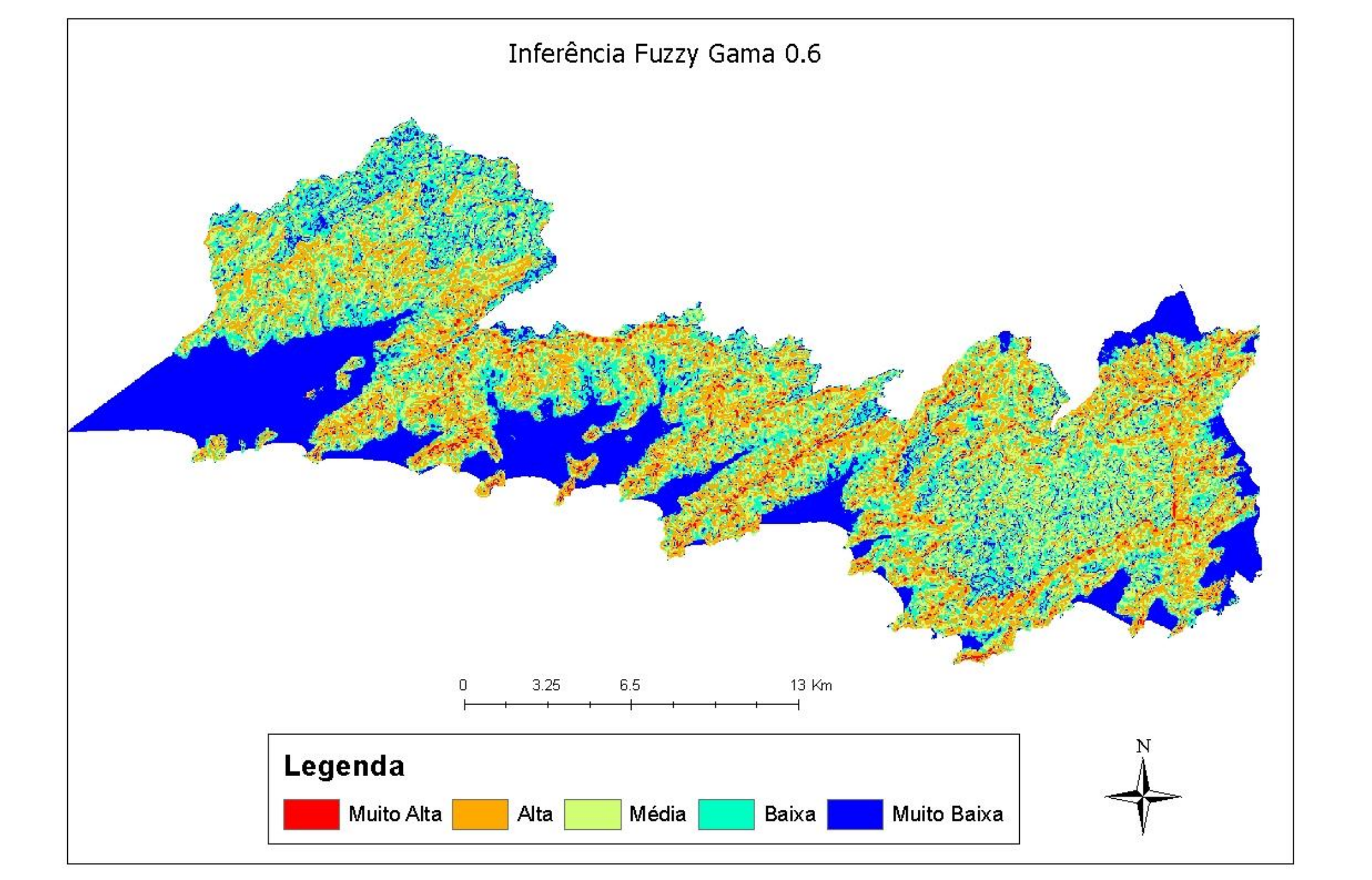
### Resultados

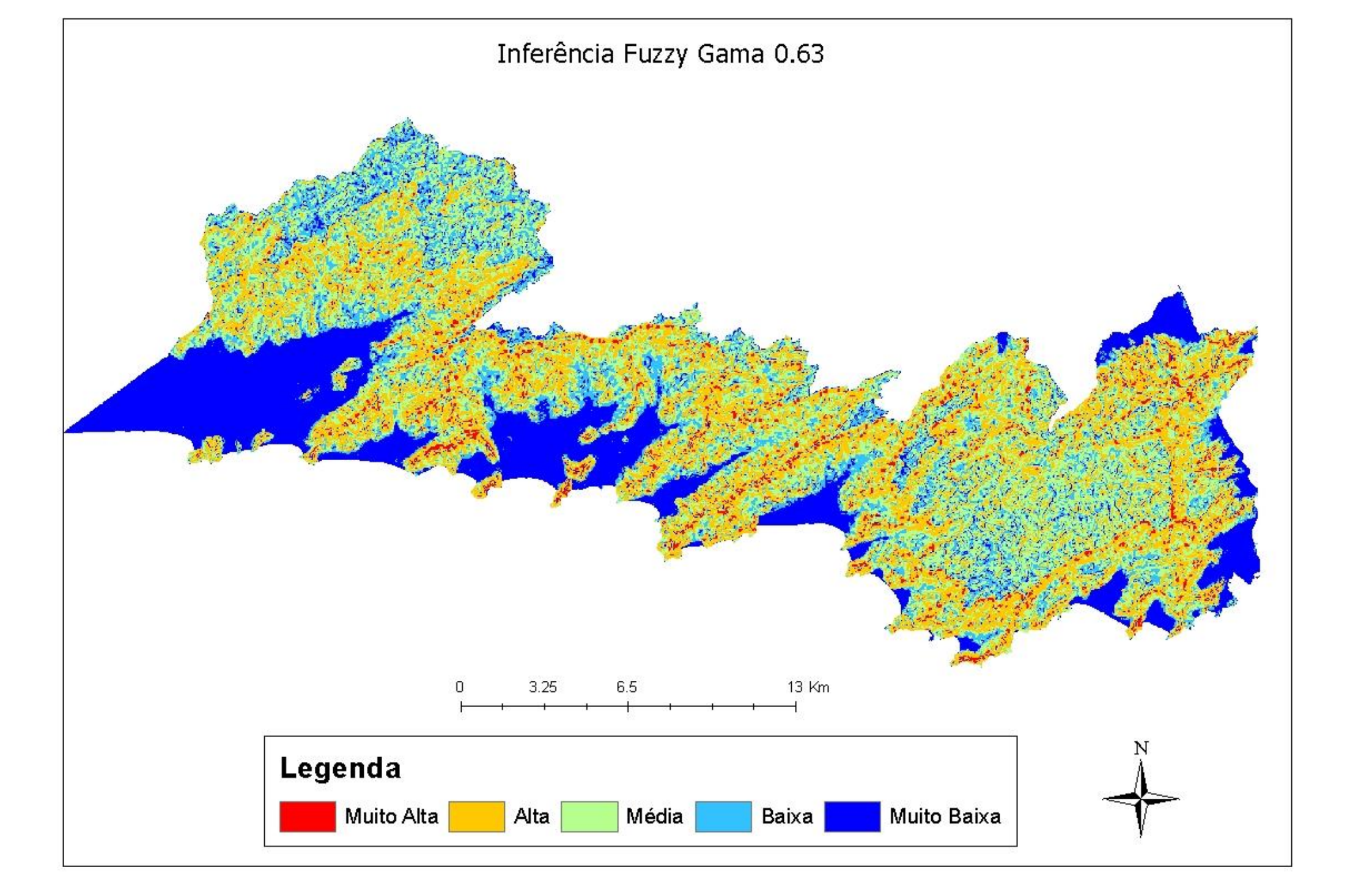
- Mapas de susceptibilidade de cada abordagem.
- Mapa do erro da abordagem Fuzzy Gama
- Mapa do desvio padrão entre as abordagem numéricas
- Tabela com a quantidade de eventos de movimento de massa ocorrido em cada classe, para cada mapa.

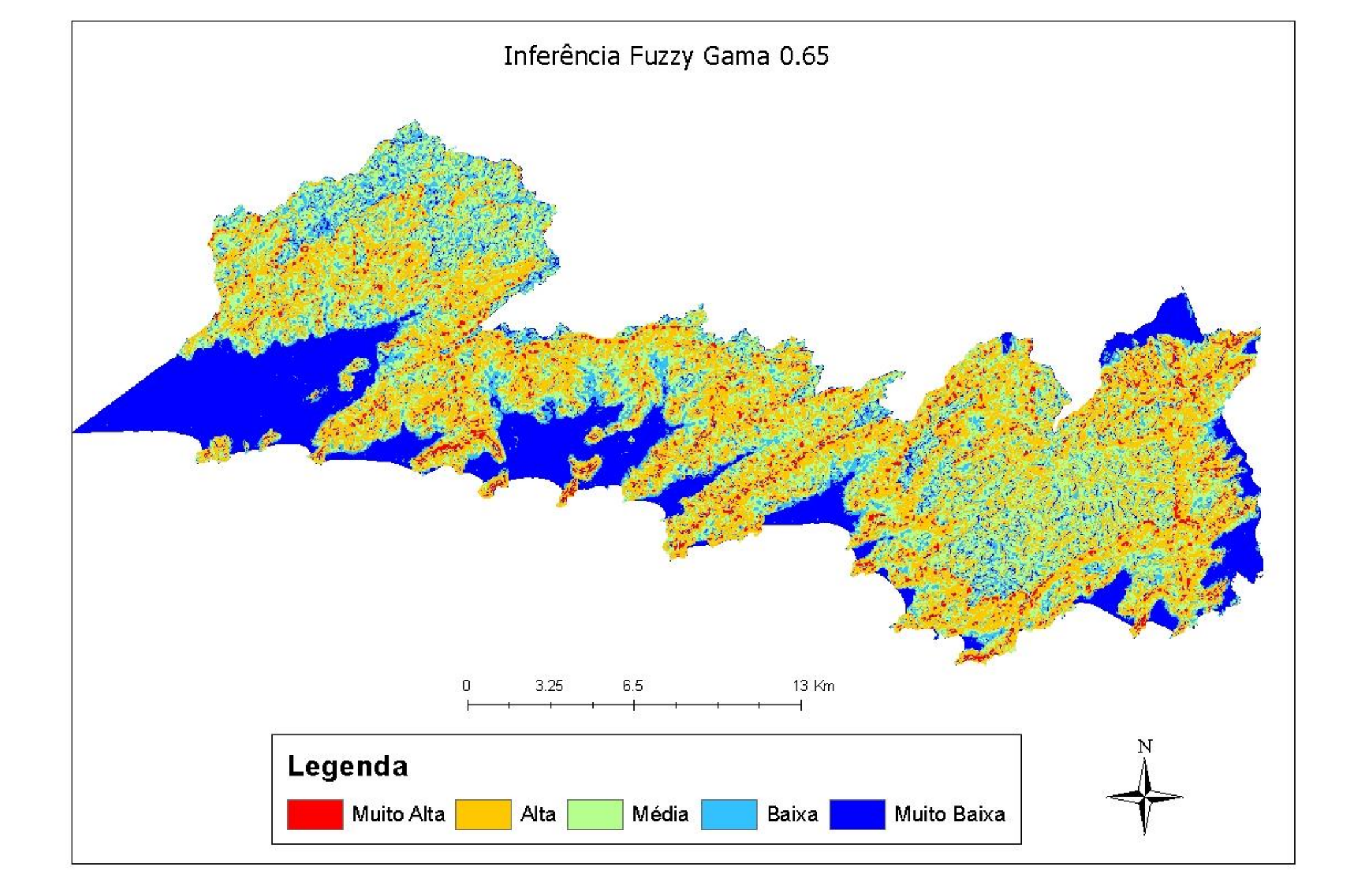


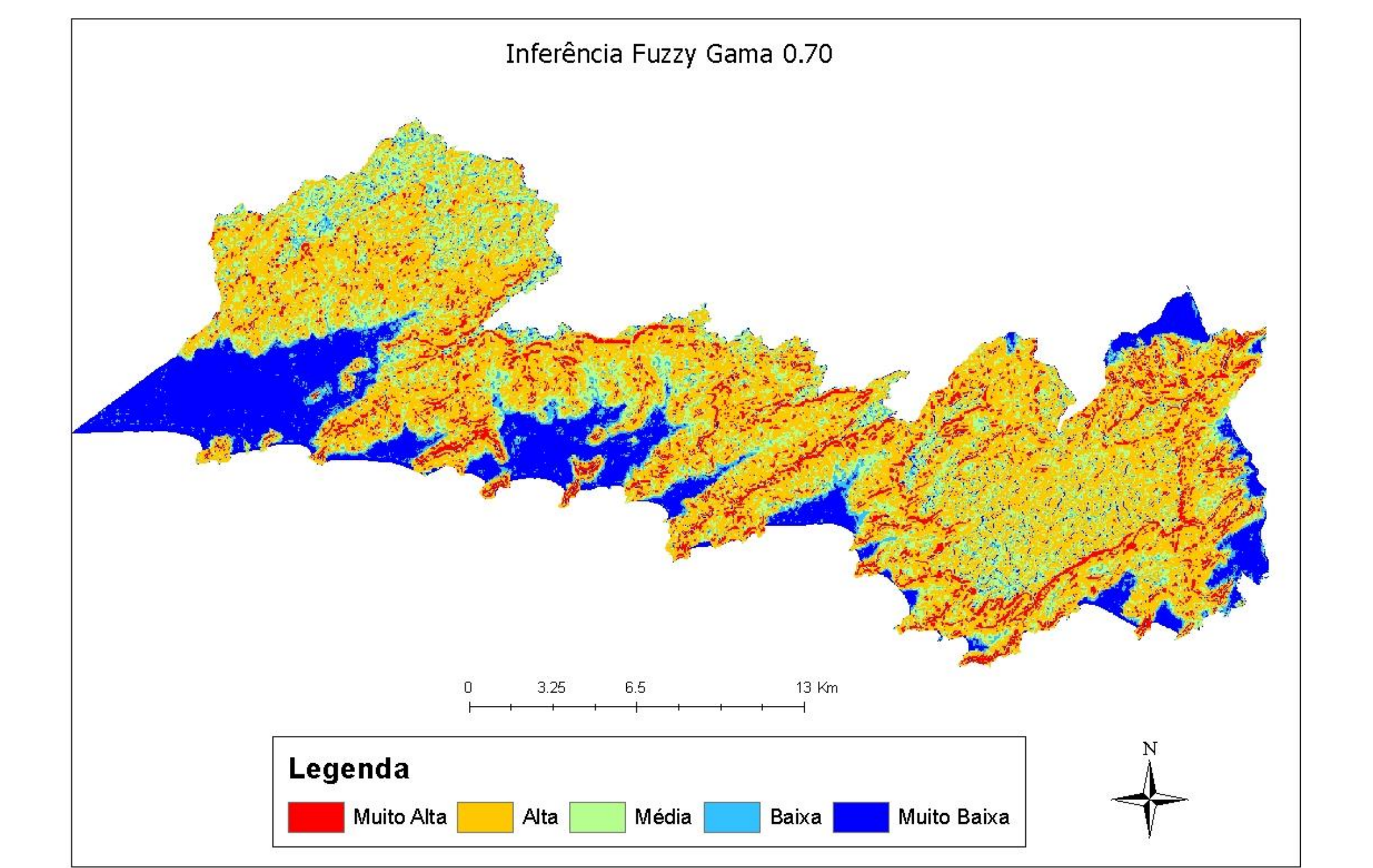


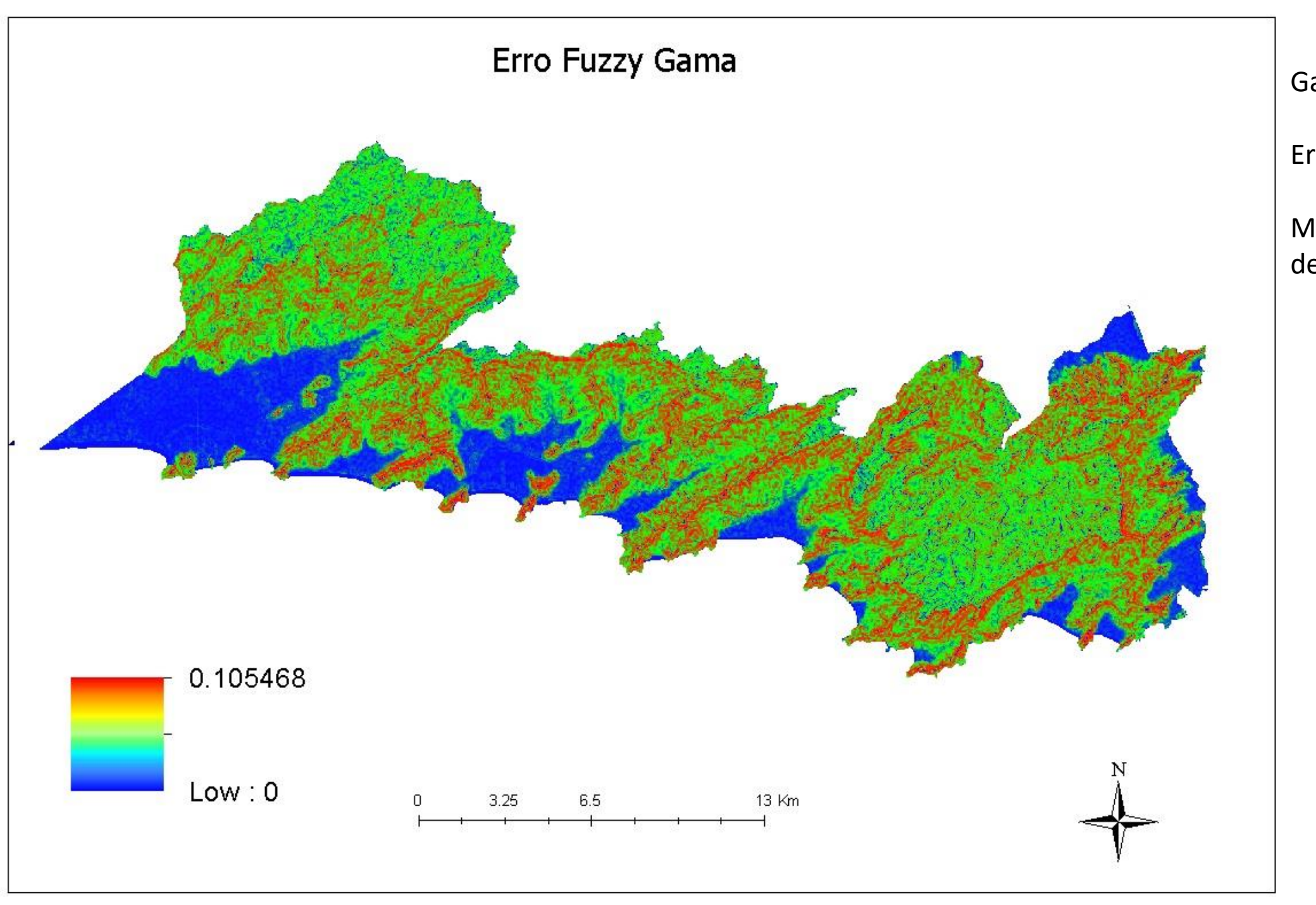








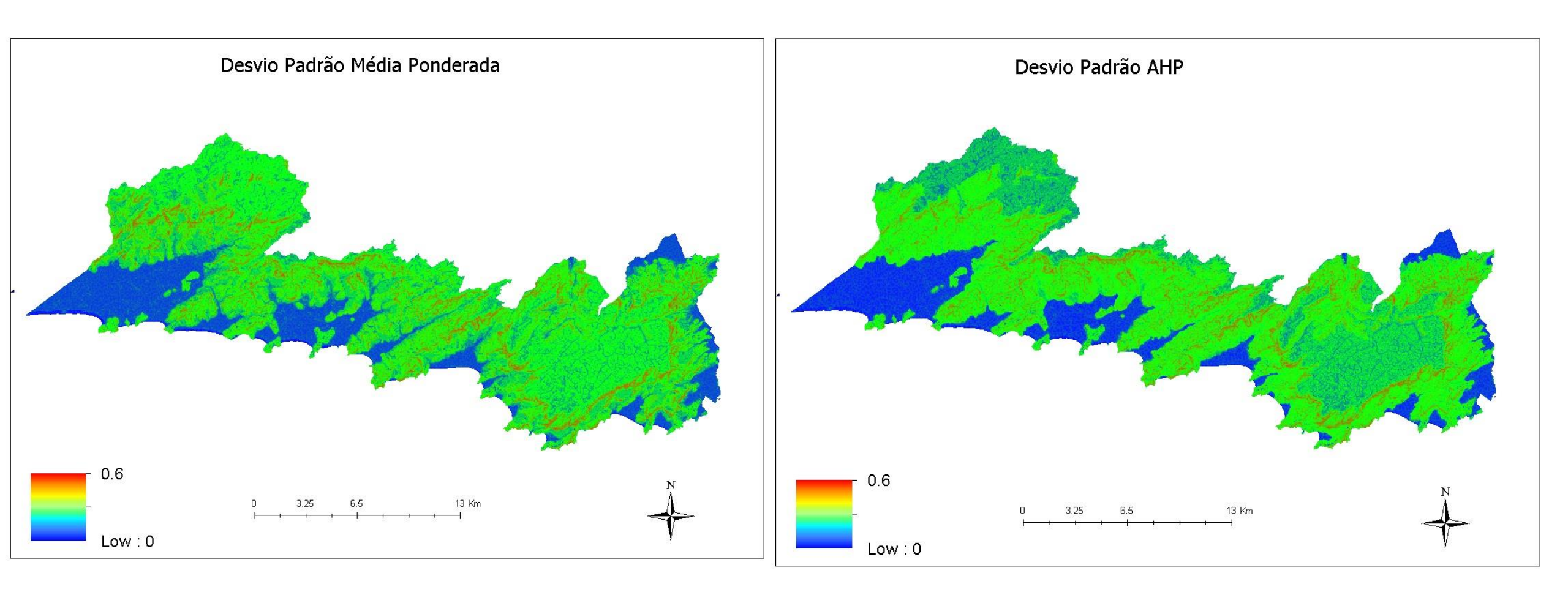


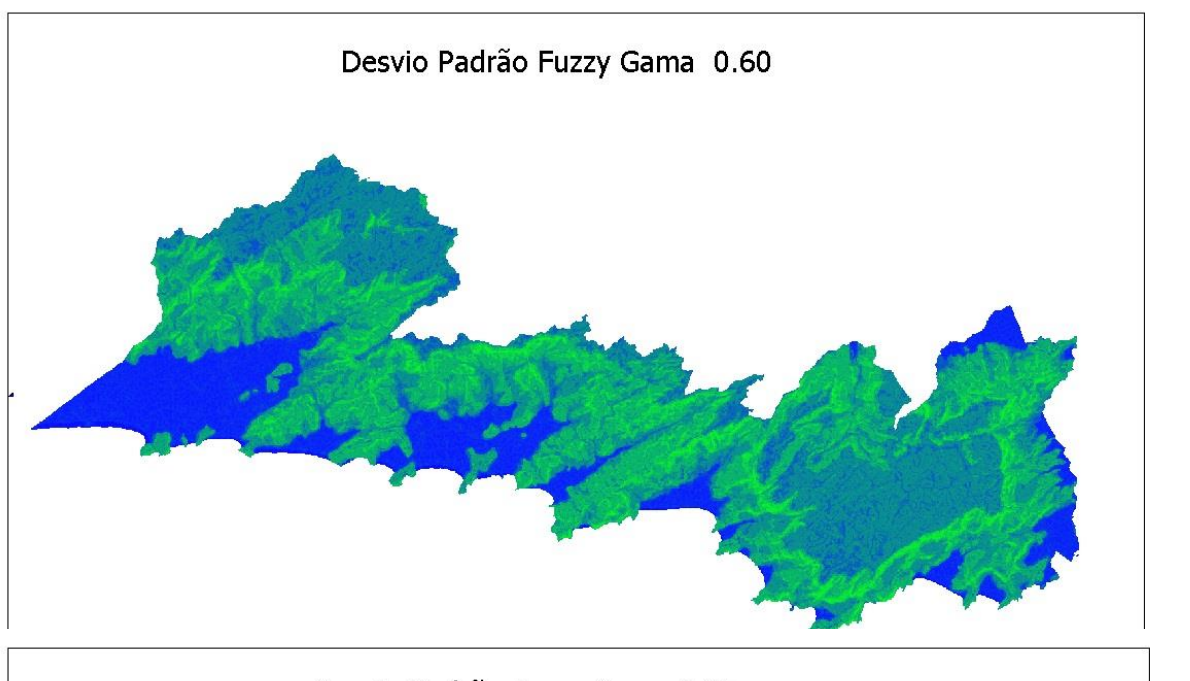


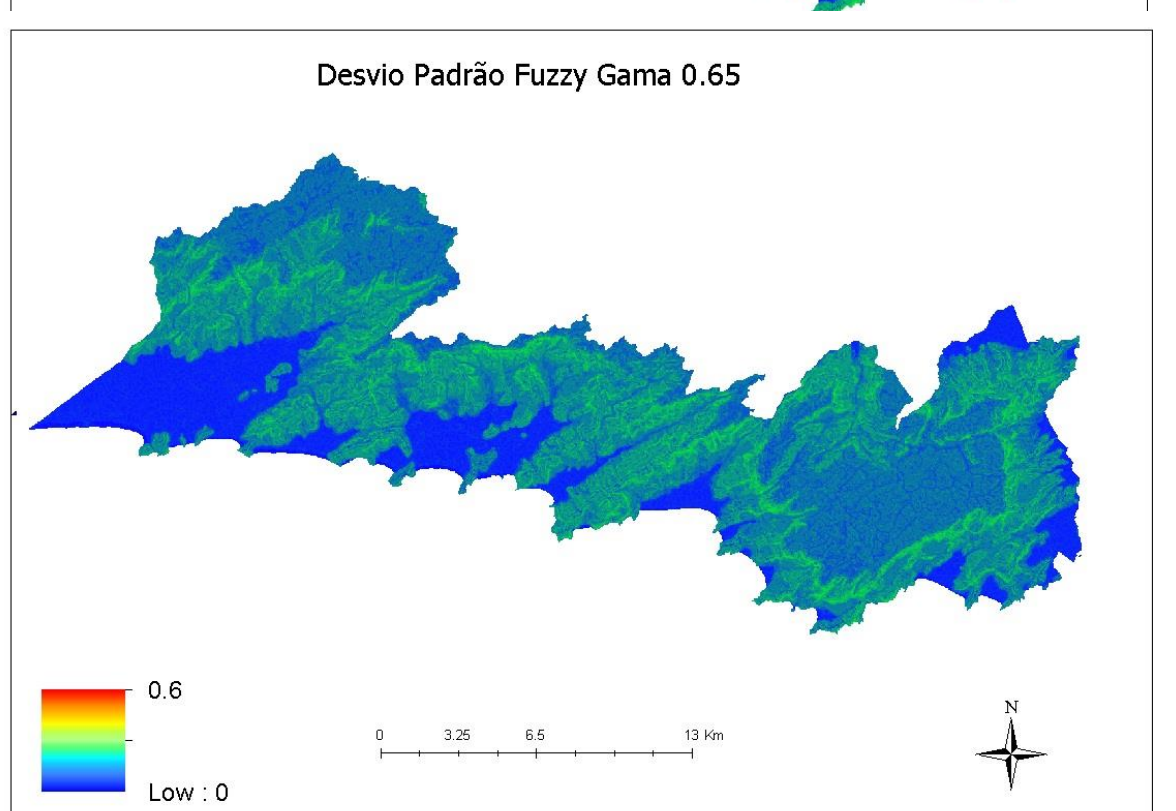
Gamma 0.7-Gamma 0.6

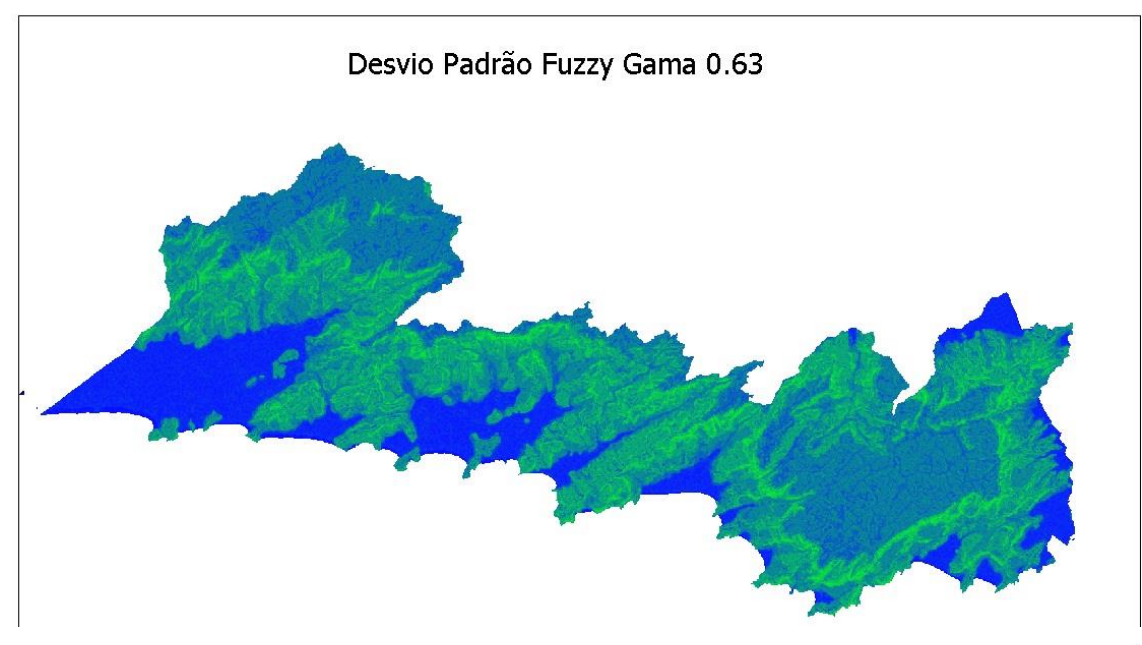
Erro máx de 10%

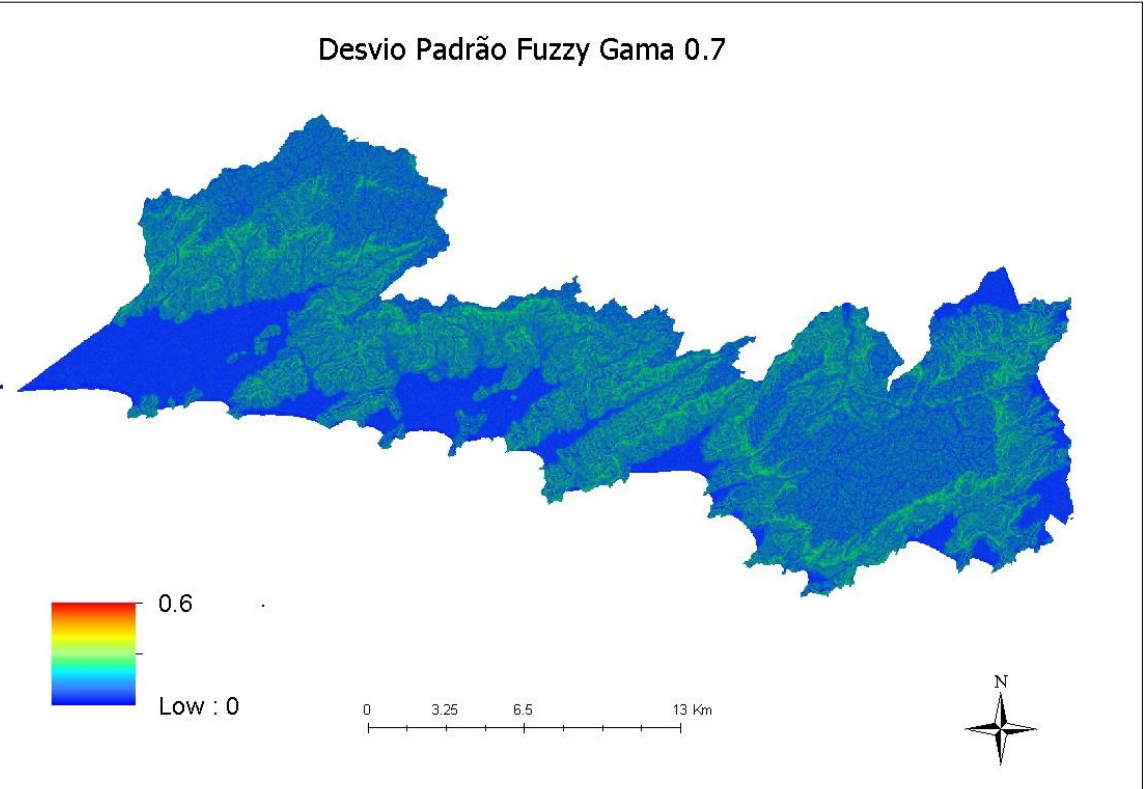
Maiores erros nas declividade maiores











### Ocorrência de eventos

ABORDAGEM	CLASSES						
	Muito alta	Alta	Media	Baixa	Muito baixa		
BOLEANA	1.10%	0.37%	69.85%	0.00%	28.68%		
MÉDIA PONDERADA	6.99%	29.41%	26.10%	9.56%	27.94%		
AHP	6.25%	37.50%	20.96%	27.94%	7.35%		
FUZZY GAMMA (γ=0.6)	2.94%	19.12%	26.47%	13.97%	37.50%		
FUZZY GAMMA (γ=0.63)	5.15%	27.94%	20.96%	10.66%	35.29%		
FUZZY GAMMA (γ=0.65)	6.62%	29.78%	19.49%	13.24%	30.88%		
FUZZY GAMMA (γ=0.7)	12.13%	38.24%	12.50%	8.09%	29.04%		
MAIORIA DE TODAS AS ABORDAGENS	5.9%	28.7%	25.7%	8.5%	31.3%		

### Conclusões

- Mapas como ferramenta de planejamento e tomada de decisão
- A escolha da técnica depende do tipo de dado utilizado
- Dados numéricos com abordagem Fuzzy Gamma produzem mapas mais detalhados, e com uma incerteza.
- A técnica AHP tem bons resultados quando utilizado um modelo apropriado.
- Propor outro modelo que explore melhor a exposição das pessoas ao movimento de massa, como observado pela ocorrência de eventos em classes de baixa susceptibilidade.
- Mapeamento das cicatrizes uso de modelos empíricos, e validação dos mapas.
- AHP entre as classes das variáveis

# Referências Bibligráficas

CREPANI, E.; MEDEIROS, J. S. DE. Sensoriamento remoto e geoprocessamento aplicados ao estudo da vulnerabilidade a movimentos de massa no município de São Sebastião-SP. **SIMPÓSIO LATINOAMERICANO DE PERCEPCIÓN REMOTA (SELPER)**, v. 9, p. 889–898, 2000.

BISPO, P. C.; DE ALMEIDA, C. M.; DE MORISSON VALERIANO, M.; DE MEDEIROS, J. S.; CREPANI, E. Análise da suscetibilidade aos movimentos de massa em São Sebastião (SP) com o uso de métodos de inferência espacial. **Geociências (São Paulo)**, v. 30, n. 3, p. 467–478, 2011.

MANDAL, B.; MANDAL, S. Analytical hierarchy process (AHP) based landslide susceptibility mapping of Lish river basin of eastern Darjeeling Himalaya, India. **Advances in Space Research**, v. 62, n. 11, p. 3114–3132, 2018.

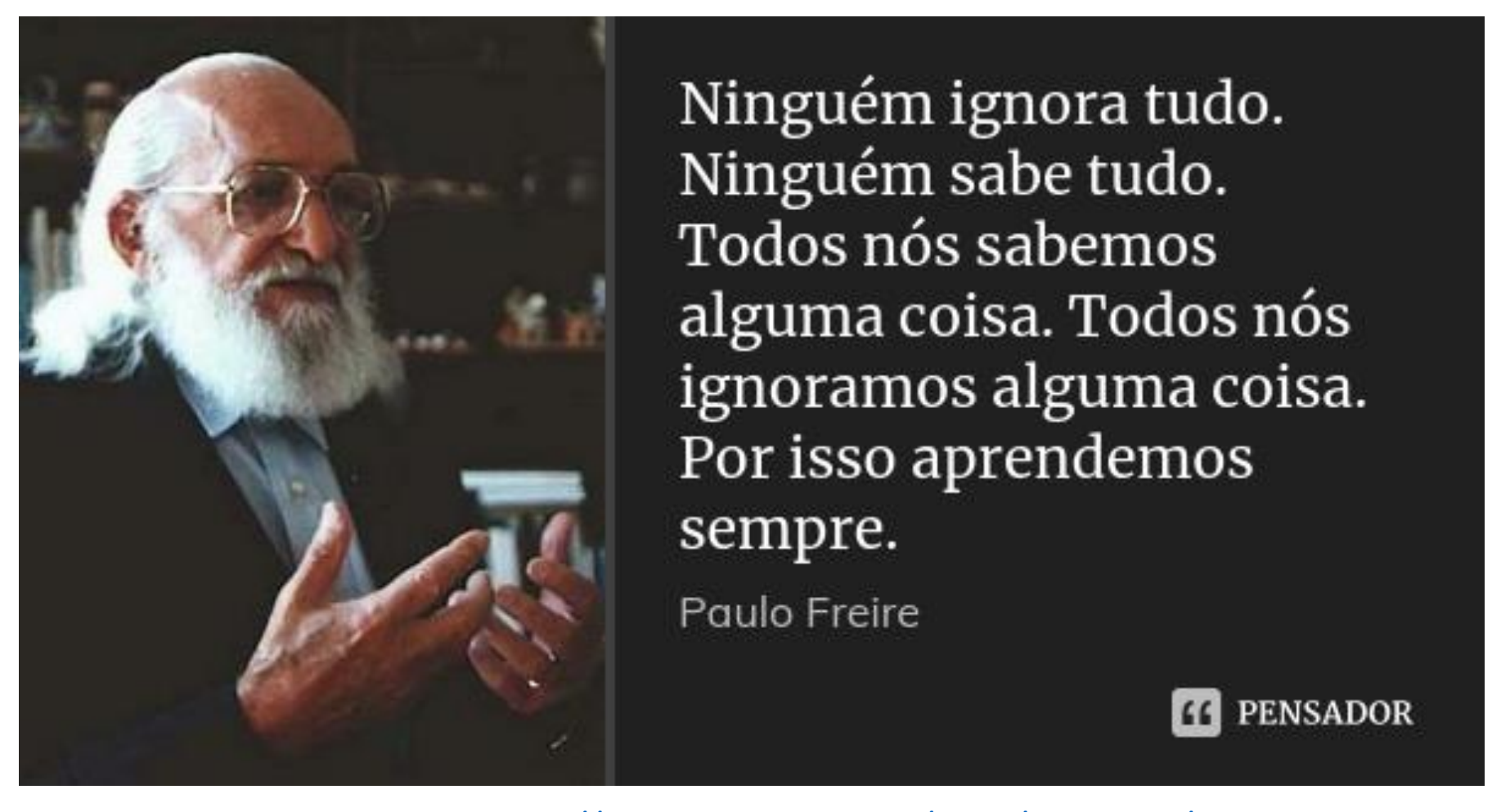
MUÑOZ, V. A. Análise comparativa de técnicas de inferência espacial para identificação de unidades de suscetibilidade aos movimentos de massa na região de São Sebastião, São Paulo, Brasil. **São José dos Campos**, 2005.

EFFGEN, J. F.; MARCHIORO, E. MAPEAMENTO DE ÁREAS SUSCETÍVEIS A MOVIMENTOS DE MASSA NO MUNICÍPIO DE VILA VELHA-ES, COM O USO DE ANÁLISE DE PROCESSOS HIERARQUIZADOS (AHP). **Geosciences= Geociências**, v. 36, n. 4, p. 731–742, 2017.

# Agradecimentos

- A Dra. Cláudia Almeida, por disponibilizar o banco de dados existente e pela assistência.
- Ao Dr. Márcio Valeriano, Dr. Eymar Lopes e Dr. Joao Pedro pelas dicas.
- Aos professores da disciplina e aos discentes
- A Msc. Renata Quevedo por compartilhar suas experiências e pesquisas.

### Obrigada!



Fonte: <a href="https://www.pensador.com/frase/NzkzMjkz/">https://www.pensador.com/frase/NzkzMjkz/</a>